

第四节课习题

高翔

2018 年 3 月 18 日

1 习题说明

- 第 i 节课习题所有材料打包在 `Li.zip` 中, $\forall i = 1 \dots 8$ 。
- 习题分为若干种: **计算类**习题, 需要读者编程计算一个实际问题, 我们会附有参考答案以供自测。**操作类**习题, 会指导读者做一个具体的实验, 给出中间步骤截图或结果。**简述类**习题则提供阅读材料, 需要读者阅读材料后, 回答若干问题。
- 每个习题会有一些的分值。每次习题分值加和为 10 分。你需要获得 8 分以上才能得到“通过”的评价。带 * 的习题为附加题, 会在总分之外再提供一定的分值, 所以总和可能超过 10 分。换句话说, 你也可以选择一道附加题, 跳过一道正常题。
- 每道习题的给分由助教评判, 简述类习题可能存在一定开放性, 所以评分也存在主观因素。
- 请利用深蓝学院系统提交习题。每次习题我们会记通过与否。提交形式为 word 或 pdf 格式报告, 如有编程习题请提交可编译的源码。
- 为方便读者, 我通常会准备一些阅读材料, 放在 `books/`或 `papers/`目录下。请读者按个人需求使用这些材料。它们多数是从网络下载的, 如果侵犯到你的权利, 请及时告诉我。
- 每个习题会标注大致用时, 但视同学个人水平可能会有出入。
- 习题的完成情况会影响你对本课程内容的掌握程度, 请认真、独立完成。**习题总得分较高的同学将获得推荐资格。**

2 图像去畸变 (3 分, 约 1 小时)

现实生活中的图像总存在畸变。原则上来说, 针孔透视相机应该将三维世界中的直线投影成直线, 但是当我们使用广角和鱼镜头时, 由于畸变的原因, 直线在图像里看起来是扭曲的。本次作业, 你将尝试如何对一张图像去畸变, 得到畸变前的图像。



图 1: 测试图像

图 1 是本次习题的测试图像 (code/test.png), 来自 EuRoC 数据集 [1]。可以明显看到实际的柱子、箱子的直线边缘在图像中被扭曲成了曲线。这就是由相机畸变造成的。根据我们在课上的介绍, 畸变前后的坐标变换为:

$$\begin{cases} x_{\text{distorted}} = x(1 + k_1r^2 + k_2r^4) + 2p_1xy + p_2(r^2 + 2x^2) \\ y_{\text{distorted}} = y(1 + k_1r^2 + k_2r^4) + p_1(r^2 + 2y^2) + 2p_2xy \end{cases} \quad (1)$$

其中 x, y 为去畸变后的坐标, $x_{\text{distorted}}, y_{\text{distorted}}$ 为去畸变前的坐标。现给定参数:

$$k_1 = -0.28340811, k_2 = 0.07395907, p_1 = 0.00019359, p_2 = 1.76187114e - 05.$$

以及相机内参

$$f_x = 458.654, f_y = 457.296, c_x = 367.215, c_y = 248.375.$$

请根据 undistort_image.cpp 文件中内容, 完成对该图像的去畸变操作。

注: 本题不要使用 OpenCV 自带的去畸变函数, 你需要自己理解去畸变的过程。我给你准备的程序中已经有了基本的提示。作为验证, 去畸变后图像如图 2 所示。如你所见, 直线应该是直的。

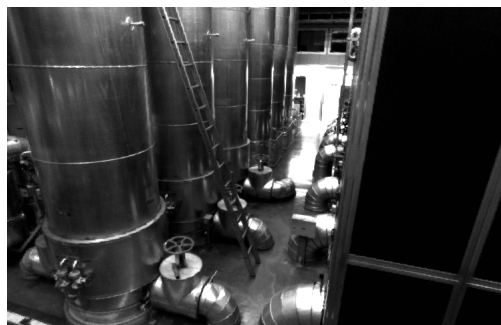


图 2: 验证图像

$$\begin{aligned} & \begin{cases} u = f_x \cdot x + c_x \\ v = f_y \cdot y + c_y \end{cases} \\ \Rightarrow & \begin{cases} x = \frac{1}{f_x} (u - c_x) \\ y = \frac{1}{f_y} (v - c_y) \end{cases} \\ & \Downarrow \end{aligned}$$

$$\begin{cases} x_{\text{distorted}} = x(1 + k_1r^2 + k_2r^4) + 2p_1xy + p_2(r^2 + 2x^2) \\ y_{\text{distorted}} = y(1 + k_1r^2 + k_2r^4) + p_1(r^2 + 2y^2) + 2p_2xy \end{cases}$$

$$r^2 = x^2 + y^2$$

$$\begin{aligned} & \Downarrow \\ & \begin{cases} u_d = f_x \cdot x_d + c_x \\ v_d = f_y \cdot y_d + c_y \end{cases} \end{aligned}$$

u_d, v_d 已知, 但可能不是整数, 没有对应的像素点, 所以对图像进行插值, 再赋值给 u, v

u, v 是像素坐标, 单位是像素, 是整数, 每个像素点都含有颜色信息 (此处为灰度), $0 \sim 255 \Rightarrow \text{unsigned char}$

3 双目视差的使用 (2 分, 约 1 小时)

双目相机的一大好处是可以通过左右目的视差来恢复深度。课程中我们介绍了由视差计算深度的过程。本题, 你需要根据视差计算深度, 进而生成点云数据。本题的数据来自 Kitti 数据集 [2]。

Kitti 中的相机部分使用了一个双目模型。双目采集到左图和右图, 然后我们可以通过左右视图恢复出深度。经典双目恢复深度的算法有 BM(Block Matching), SGBM(Semi-Global Matching)[3, 4] 等, 但本题不探讨立体视觉内容 (那是一个大问题)。我们假设双目计算的视差已经给定, 请你根据双目模型, 画出图像对应的点云, 并显示到 Pangolin 中。

本题给定的左右图见 code/left.png 和 code/right.png, 视差图亦给定, 见 code/right.png。双目的参数如下:

$$f_x = 718.856, f_y = 718.856, c_x = 607.1928, c_y = 185.2157.$$

且双目左右间距 (即基线) 为:

$$d = 0.573 \text{ m. } \textit{baseline}$$

请根据以上参数, 计算相机数据对应的点云, 并显示到 Pangolin 中。程序请参考 code/disparity.cpp 文件。



图 3: 双目图像的左图、右图与视差

作为验证, 生成点云应如图 4 所示。

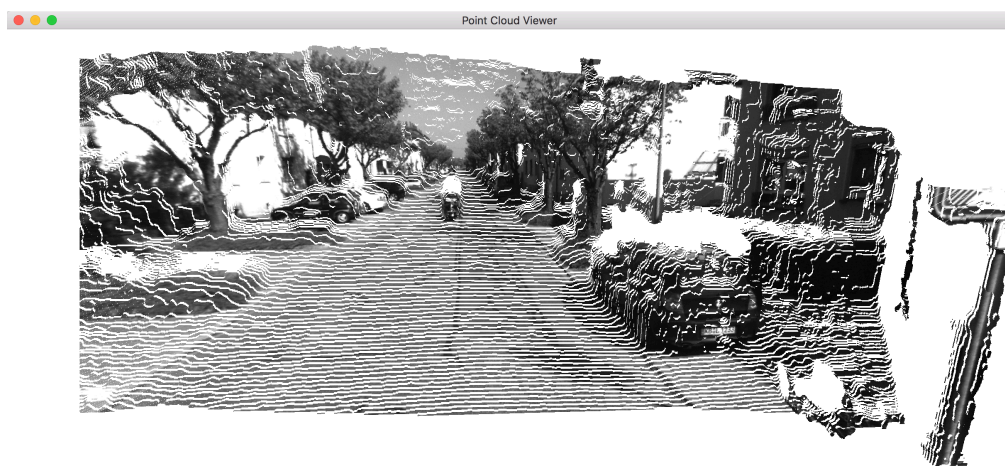


图 4: 双目生成点云结果

$$\frac{f \cdot m}{x} = 1$$

$$z = \frac{f \cdot d}{D} = \frac{f \cdot d}{u_l - u_r}$$

$$z = \frac{f \cdot x}{u_l - u_r}$$

$$x$$

$$z = \frac{f \cdot d}{D}$$

$$u \cdot z = f_x \cdot \frac{x}{z} + c_x$$

$$v \cdot z = f_y \cdot \frac{y}{z} + c_y$$

$$\begin{cases} u_R = f_x \cdot \frac{x_R}{z} + c_x \\ v = f_y \cdot \frac{y}{z} + c_y \end{cases}$$

$$z = \frac{f \cdot d}{D}$$

$$z \cdot x = \frac{f \cdot d}{D} \cdot x$$

$$\frac{m \cdot p_m}{v \cdot p_{xcl}}$$

$$x$$

$$y$$

$$3$$

$$\text{tr}(A) = \sum_i A_{ii}$$

4 矩阵微分 (2 分, 约 1.5 小时)

在优化中经常会遇到矩阵微分的问题。例如, 当自变量为向量 \mathbf{x} , 求标量函数 $u(\mathbf{x})$ 对 \mathbf{x} 的导数时, 即为矩阵微分。通常线性代数教材不会深入探讨此事, 这往往是矩阵论的内容。我在 ppt/目录下为你准备了一份清华研究生课的矩阵论课件 (仅矩阵微分部分)。阅读此 ppt, 回答下列问题:

设变量为 $\mathbf{x} \in \mathbb{R}^N$, 那么:

1. 矩阵 $\mathbf{A} \in \mathbb{R}^{N \times N}$, 那么 $d(\mathbf{Ax})/d\mathbf{x}$ 是什么¹?
2. 矩阵 $\mathbf{A} \in \mathbb{R}^{N \times N}$, 那么 $d(\mathbf{x}^T \mathbf{Ax})/d\mathbf{x}$ 是什么?
3. 证明:

$$\mathbf{x} \mathbf{A}^T \mathbf{x} = \text{tr}(\mathbf{A} \mathbf{x} \mathbf{x}^T). \quad (2)$$

$$1. \quad \frac{d(\mathbf{Ax})}{d\mathbf{x}} = \frac{d\mathbf{A}}{d\mathbf{x}} \cdot \mathbf{x} + \mathbf{A} \cdot \frac{d\mathbf{x}}{d\mathbf{x}} = \mathbf{A}$$

$$2. \quad \frac{d(\mathbf{x}^T \mathbf{Ax})}{d\mathbf{x}} = d\mathbf{x}^T \mathbf{Ax} + \mathbf{x}^T \mathbf{A} d\mathbf{x} = \mathbf{Ax} + \mathbf{x}^T \mathbf{A} = \mathbf{Ax} + \mathbf{A}^T \mathbf{x} = (\mathbf{A} + \mathbf{A}^T) \mathbf{x}$$

$$3. \quad \text{LHS:} \quad d(\mathbf{x} \mathbf{A}^T \mathbf{x}) = (\mathbf{A}^T + \mathbf{A}) \mathbf{x}$$

$$\text{RHS:} \quad d[\text{tr}(\mathbf{A} \mathbf{x} \mathbf{x}^T)] = \mathbf{Ax} + \mathbf{A}^T \mathbf{x}$$

¹ 严格的写法必须对行向量求导, 所以应该写成 $d(\mathbf{Ax})/d\mathbf{x}^T$ 。但有些时候我们为了公式简洁, 也会省略这个 T 。

$$f(x+\Delta x) \approx f(x) + J(x) \Delta x$$

5 高斯牛顿法的曲线拟合实验 (3 分, 约 2 小时)

我们在课上演示了用 Ceres 和 g2o 进行曲线拟合的实验, 可以看到优化框架给我们带来了诸多便利。本题中你需要自己实现一遍高斯牛顿的迭代过程, 求解曲线的参数。我们将原题复述如下。设有曲线满足以下方程:

$$y = \exp(ax^2 + bx + c) + w. \quad (3)$$

其中 a, b, c 为曲线参数, w 为噪声。现有 N 个数据点 (x, y) , 希望通过此 N 个点来拟合 a, b, c 。实验中取 $N = 100$ 。

那么, 定义误差为 $e_i = y_i - \exp(ax_i^2 + bx_i + c)$, 于是 (a, b, c) 的最优解可通过解以下最小二乘获得:

$$\min_{a, b, c} \frac{1}{2} \sum_{i=1}^N \|y_i - \exp(ax_i^2 + bx_i + c)\|^2. \quad (4)$$

现在请你书写 Gauss-Newton 的程序以解决此问题。程序框架见 `code/gaussnewton.cpp`, 请填写程序内容以完成作业。作为验证, 按照此程序的设定, 估计得到的 a, b, c 应为:

$$a = 0.890912, \quad b = 2.1719, \quad c = 0.943629.$$

这和书中的结果是吻合的。

$$H \Delta x = b$$

$$LDL^T \Delta x = b$$

$$\frac{\partial e^{f(x)}}{\partial x} = e^{f(x)} \cdot f'(x)$$

$$\frac{\partial \exp(ax_i^2 + bx_i + c)}{\partial a} = \exp(ax_i^2 + bx_i + c) \cdot x_i^2$$

$$\frac{\partial e}{\partial b} = e \cdot x_i$$

$$\frac{\partial e}{\partial c} = e$$

Bibliography

- [1] M. Burri, J. Nikolic, P. Gohl, T. Schneider, J. Rehder, S. Omari, M. W. Achtelik, and R. Siegwart, “The euroc micro aerial vehicle datasets,” *The International Journal of Robotics Research*, 2016.
- [2] A. Geiger, P. Lenz, and R. Urtasun, “Are we ready for autonomous driving? the kitti vision benchmark suite,” *2012 IEEE Conference On Computer Vision And Pattern Recognition (cvpr)*, pp. 3354–3361, 2012.
- [3] H. Hirschmuller, “Accurate and efficient stereo processing by semi-global matching and mutual information,” in *Computer Vision and Pattern Recognition, 2005. CVPR 2005. IEEE Computer Society Conference on*, vol. 2, pp. 807–814, IEEE, 2005.
- [4] D. Scharstein and R. Szeliski, “A taxonomy and evaluation of dense two-frame stereo correspondence algorithms,” *International journal of computer vision*, vol. 47, no. 1-3, pp. 7–42, 2002.